

Knot Floer complex が $(3, q)$ 型トーラス結び目と stably equivalent な双曲結び目

姫野 圭佑 (Keisuke Himeno)

December 25, 2023

Knot Floer complex $\text{CFK}^\infty(K)$

結び目 $K \subset S^3 \longrightarrow$ **knot Floer complex** $\text{CFK}^\infty(K)$ [Ozsváth–Szábo].

- $\text{CFK}^\infty(K)$ は $\mathbb{F}_2[U, U^{-1}]$ -加群の構造を持つ.
- 鎖複体として, $\text{CFK}^\infty(K)$ は **Maslov grading** と呼ばれる homological grading と微分 ∂ を持つ.
- $\text{CFK}^\infty(K)$ は $\mathbb{Z} \oplus \mathbb{Z}$ -filtered 鎖複体の構造を持つ.
特に, 一つ目の filtration level を **Alexander grading** と呼ぶ.
- U の $\text{CFK}^\infty(K)$ への作用は ∂ と可換であり,
Maslov grading を 2, 二つの filtration levels を 1 ずつ下げる.
- $\text{CFK}^\infty(K)$ の filtered chain homotopy equivalence class は
結び目の不変量になる.

CFK[∞](K) の平面への描画

\mathbb{F}_2 -ベクトル空間としての生成元 $U^i x$ を座標 $(-i, \text{Alex}(U^i x))$ に配置, 微分は矢印で表す.

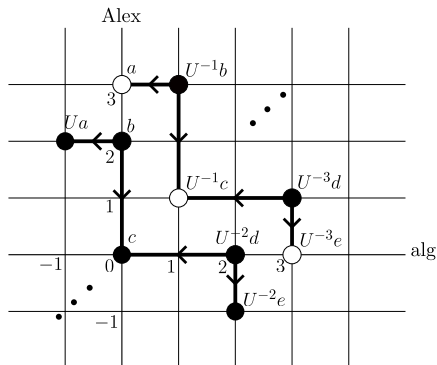


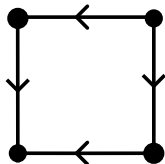
Figure: CFK[∞](T(3,4)) の平面への描画.

白い頂点は Maslov grading が 0 であり, それぞれ $H_0(\text{CFK}^\infty(T(3,4))) \cong \mathbb{F}_2$ の生成元になる.

Stably equivalence

Definition

二つの knot Floer complex C_1, C_2 が **stably equivalent** である
 $\stackrel{\text{def}}{\Leftrightarrow}$ acyclic な鎖複体 A_1, A_2 が存在して, $C_1 \oplus A_1 \cong C_2 \oplus A_2$.



左図の形をした鎖複体は acyclic,
つまりホモロジーが消えている。

Figure: box 型鎖複体

Theorem (Hom)

K_1 と K_2 が concordant であるとする。

このとき, $\text{CFK}^\infty(K_1)$ と $\text{CFK}^\infty(K_2)$ は stably equivalent である。

主結果

$n \geq 0$, $q \geq 4$ を 3 と互いに素な整数, σ_1, σ_2 は 3 次ブレイド群の標準的な生成元とする. 以下の図のように結び目 $K_n^{(3,q)}$ を定める.

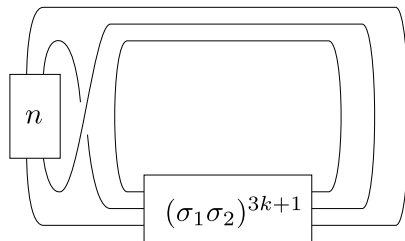


Figure: $q = 3k + 1$ ($k \geq 1$) の場合. n は右手系の n 回フルツイストを表す.

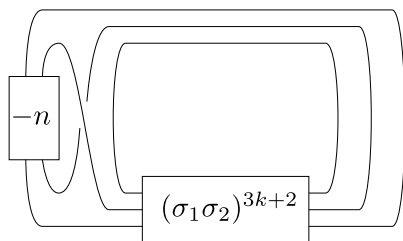


Figure: $q = 3k + 2$ ($k \geq 1$) の場合. $-n$ は左手系の n 回フルツイストを表す.

Theorem

結び目 $K_n^{(3,q)}$ ($n \geq 1$) は以下を満たす.

- $\text{CFK}^\infty(K_n^{(3,q)})$ は $\text{CFK}^\infty(T(3,q))$ と stably equivalent である.
- 双曲的結び目である.
- (L -space knot でも Floer thin knot でもない).

Theorem

q を固定した結び目の族 $\{K_n^{(3,q)}\}_{n=0}^\infty$ は互いに concordant でない結び目を無限個含む.

Ozsváth–Stipsicz–Szábo (2017)

結び目 K に対し, $\Upsilon_K(t): [0, 2] \rightarrow \mathbb{R}$ が定義できる.

- 連続かつ区分線形
- コンコーダンス不変量
- 左右対称, つまり $\Upsilon_K(t) = \Upsilon_K(2 - t)$
- K^* を K の鏡像とすると, $\Upsilon_{K^*}(t) = -\Upsilon_K(t)$
- $\Upsilon_{K_1 \# K_2}(t) = \Upsilon_{K_1}(t) + \Upsilon_{K_2}(t)$

$\Upsilon_K(t)$ は CFK^∞ から計算できる [Livingston].

Fact

$\text{CFK}^\infty(K_1)$ と $\text{CFK}^\infty(K_2)$ が stably equivalent ならば,
 $\Upsilon_{K_1}(t) = \Upsilon_{K_2}(t)$.

例： $\Upsilon_{T(3,4)}(t)$

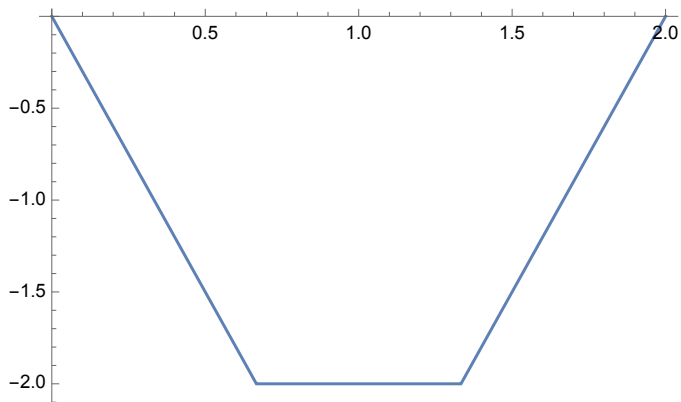


Figure: トーラス結び目 $T(3,4)$ の Υ 不変量.

Borodzik–Hedden (2018)

Υ 不変量が下に凸となる結び目はどのようなものか？

- L -space knot [Borodzik–Hedden].
例えば、正トーラス結び目.
- Floer thin knot (適切な鏡像を考える) [Alfieri].

主定理の系

$K_n^{(3,q)}$ の Υ 不変量は下に凸であり、
上記のどちらにも属さない。

- 1 $\text{CFK}^\infty(K_n^{(3,q)})$ の計算
- 2 Alexander 多項式と双曲性
- 3 Concordant

- 1 $\text{CFK}^\infty(K_n^{(3,q)})$ の計算
- 2 Alexander 多項式と双曲性
- 3 Concordant

Doubly pointed Heegaard diagram

$K_n^{(3,q)}$ は $(1,1)$ -knot であり, 種数 1 の doubly pointed Heegaard diagram で表せる [Goda–Matsuda–Morifuji].

この場合, $\text{CFK}^\infty(K_n^{(3,q)})$ は組み合わせ的に計算できる.

Definition (doubly pointed Heegaard diagram)

$(\Sigma; \alpha, \beta; z, w)$ が結び目 K の **種数 1 の doubly pointed Heegaard diagram** であるとは,

- $(\Sigma; \alpha, \beta)$ は S^3 の種数 1 の Heegaard diagram,
- $z, w \in \Sigma$ を各ハンドル体内で, α (resp. β) を張る meridian disk に交わらない trivial arc t (resp. t') で繋いだとき, $K = t \cup t'$ となっている.

$K_n^{(3,4)}$ の doubly pointed Heegaard diagram

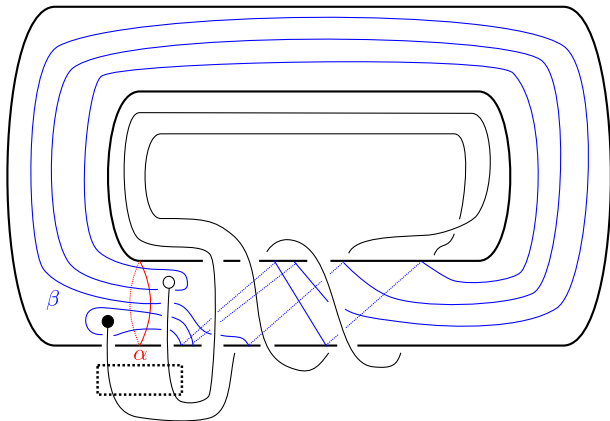


Figure: $K_0^{(3,4)}$ の doubly pointed diagram.

点線で囲まれた部分を右手系に n 回フルツイスト = diagram 上で二点を時計回りに n 回転すると, $K_n^{(3,4)}$ の doubly pointed diagram を得る.

$K_n^{(3,4)}$ の doubly pointed Heegaard diagram

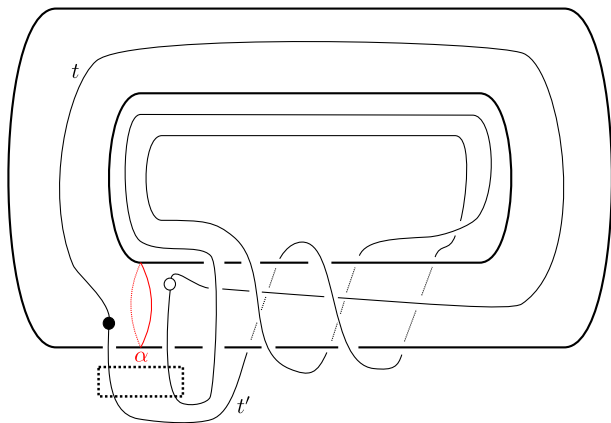


Figure: doubly pointed diagram から結び目を復元した図.

CFK[∞] の計算方法

CFK[∞] の $\mathbb{F}_2[U, U^{-1}]$ -加群としての生成元 ... α と β の交差点.
微分 ... **Whitney disk** $\phi: D^2 \rightarrow \Sigma$ を考える.

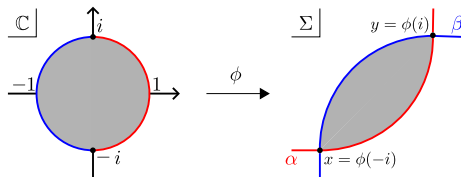


Figure: x から y への Whitney disk.

$n_z(\phi) := \phi$ と z の代数的交差数. ($n_w(\phi)$ も同様.)

$$\partial x = \sum_{y \in \alpha \cap \beta} \sum_{\phi} U^{n_w(\phi)} y,$$

ただし, ϕ は x から y への“適切な” Whitney disk.

Maslov grading と Alexander grading

Maslov grading $M: \alpha \cap \beta \rightarrow \mathbb{Z} \cdots$ the homological grading.

Alexander grading $A: \alpha \cap \beta \rightarrow \mathbb{Z}$ は以下の二つの性質から一意に定まる.

- $\phi: x$ から y への “適切な” Whitney disk,

$$A(x) - A(y) = n_z(\phi) - n_w(\phi).$$

- 対称性

$$\#\{x \mid A(x) = i\} = \#\{x \mid A(x) = -i\}, \quad \forall i \in \mathbb{Z}.$$

Universal cover

計算を簡単にするため、 Σ の universal cover を考える。

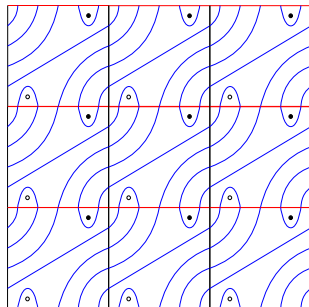
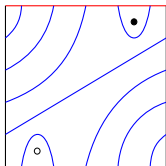


Figure: $K_0^{(3,4)}$ の doubly pointed diagram の展開図.

Figure: Universal cover へのリフト.

$n = 1$ の場合 : universal cover

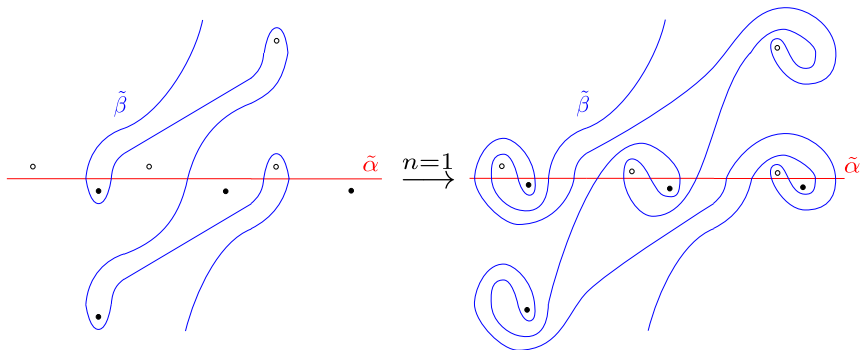
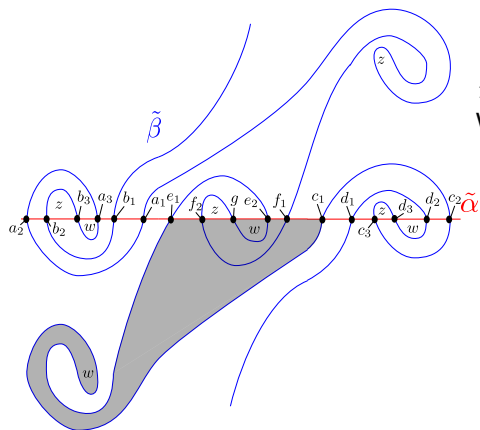


Figure: $\tilde{\alpha}, \tilde{\beta}$ はそれぞれ α, β のリフトのうち、一つの連結成分.

$n = 1$ の場合 : Whitney disk の例



グレーの disk ϕ は c_1 から e_1 への
Whitney disk で $n_w(\phi) = 2$.
したがって,

$$A(c_1) - A(e_1) = -2,$$

$$\partial c_1 = U^2 e_1 + \dots$$

$n = 1$ の場合：微分と Alexander filtration levels

微分	Alexander
$\partial a_1 = Ua_2 + Ub_1 + f_1 + e_1$	$4 = A(b_2)$
$\partial a_2 = a_3 + Ub_2$	$3 = A(a_2) = A(b_1) = A(b_3)$
$\partial a_3 = Ub_3$	$2 = A(a_1) = A(a_3)$
$\partial b_1 = Ub_2 + a_3$	$1 = A(e_2)$
$\partial b_2 = b_3$	$0 = A(g) = A(f_1) = A(e_1)$
$\partial b_3 = 0$	$-1 = A(f_2)$
$\partial c_1 = c_2 + d_1 + U^2 f_1 + U^2 e_1$	$-2 = A(c_1) = A(c_3)$
$\partial c_2 = Uc_3 + d_2$	$-3 = A(c_2) = A(d_1) = A(d_3)$
$\partial c_3 = d_3$	$-4 = A(d_2)$
$\partial d_1 = d_2 + Uc_3$	
$\partial d_2 = Ud_3$	基底変換
$\partial d_3 = 0$	$b_1 \rightarrow b_1 + a_2 =: B_1$
$\partial f_1 = f_2 + Ue_2$	$d_1 \rightarrow d_1 + c_2 =: D_1$
$\partial f_2 = Ug$	$e_1 \rightarrow f_1 + e_1 =: E_1$
$\partial e_1 = Ue_2 + f_2$	
$\partial e_2 = g$	

$n = 1$ の場合 : $\text{CFK}^\infty(K_1^{(3,4)})$

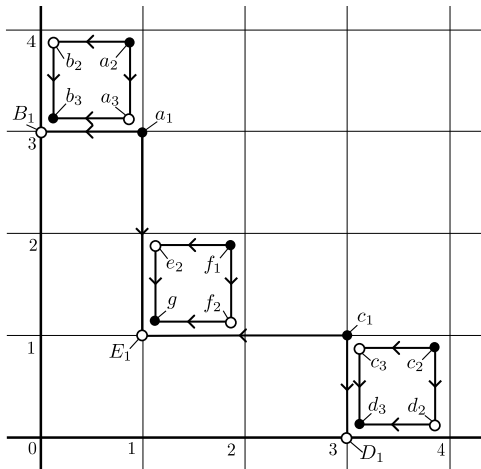


Figure: $\text{CFK}^\infty(K_1^{(3,4)})$ の図 (U は省略してある). $\text{CFK}^\infty(T(3,4))$ と stably equivalent.

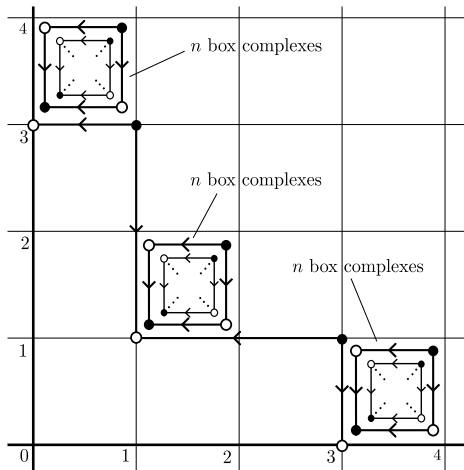


Figure: $CFK^\infty(K_n^{(3,4)})$ の図.

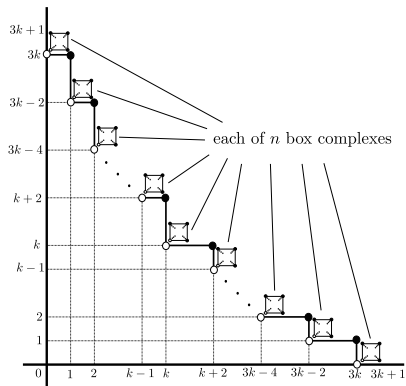


Figure: $CFK^\infty(K_n^{(3,3k+1)})$.

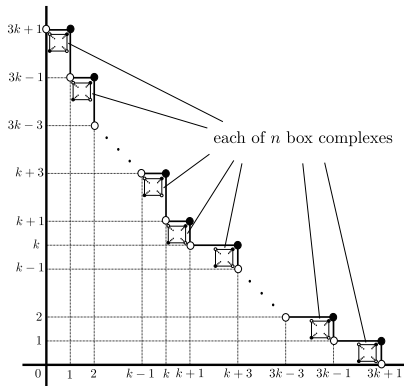


Figure: $CFK^\infty(K_n^{(3,3k+2)})$.

- 1 $\text{CFK}^\infty(K_n^{(3,q)})$ の計算
- 2 Alexander 多項式と双曲性
- 3 Concordant

Theorem (Ozsváth–Szábo (2004))

$$\Delta_K(t) = \sum_{M, A \in \mathbb{Z}} (-1)^M t^A \cdot \text{rank } \widehat{\text{HFK}}_M(K, A),$$

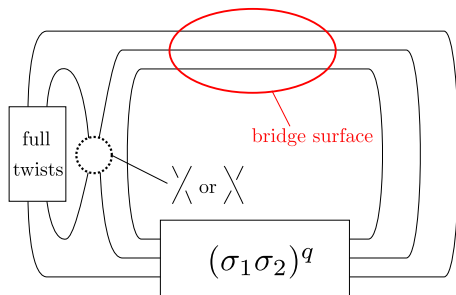
この定理から,

$$\Delta_{K_n^{(3, 3k+1)}}(t) = \sum_{i=1}^k \left\{ -n(t^{3i+1} + t^{-3i-1}) + (2n+1)(t^{3i} + t^{-3i}) \right. \\ \left. - (n+1)(t^{3i-1} + t^{-3i+1}) \right\} - nt + (2n+1) - nt^{-1},$$

$$\Delta_{K_n^{(3, 3k+2)}}(t) = \sum_{i=1}^k \left\{ (n+1)(t^{3i+1} + t^{-3i-1}) - (2n+1)(t^{3i} + t^{-3i}) \right. \\ \left. + n(t^{3i-1} + t^{-3i+1}) \right\} + (n+1)t - (2n+1) + (n+1)t^{-1}.$$

双曲性

- Alexander 多項式より $K_n^{(3,q)}$ はトーラス結び目ではない.
- $(1,1)$ -knot \implies tunnel number = 1 \implies 素な結び目.
- $K_n^{(3,q)}$ の bridge number ≤ 3 .



- 素なサテライト結び目の bridge number ≥ 4 [Schubert].
したがって, $K_n^{(3,q)}$ はサテライト結び目でない.

- ① $\text{CFK}^\infty(K_n^{(3,q)})$ の計算
- ② Alexander 多項式と双曲性
- ③ Concordant

Theorem

q を固定した結び目の族 $\{K_n^{(3,q)}\}_{n=0}^{\infty}$ は互いに concordant でない結び目を無限個含む.

$K \stackrel{\text{con.}}{\sim} L \implies K \# -L$ は slice knot
 $\implies \Delta_{K \# -L}(t) = \exists f(t)f(t^{-1})$ (Fox–Milnor condition).

特に, K と L の determinant の積は平方数.

Proposition

以下のいずれかを満たすとき、

$K_n^{(3,q)}$ と $K_m^{(3,q)}$ は互いに concordant でない。

- $q = 3k + 1$ かつ k が奇数のとき、 $(4n + 3)(4m + 3)$ が平方数でない。
- $q = 3k + 1$ かつ k が偶数のとき、 $(4n + 1)(4m + 1)$ が平方数でない。
- $q = 3k + 2$ かつ k が奇数のとき、 $(4n + 1)(4m + 1)$ が平方数でない。
- $q = 3k + 2$ かつ k が偶数のとき、 $(4n + 3)(4m + 3)$ が平方数でない。

証明

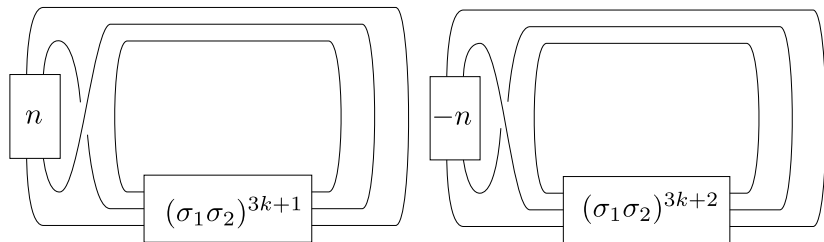
すでに求めた Alexander 多項式から determinant を計算すると、

- $q = 3k + 1$ のとき、 $\det(K_n^{(3,q)}) = \begin{cases} 4n + 1 & k : \text{odd}, \\ 4n + 3 & k : \text{even}. \end{cases}$

- $q = 3k + 2$ のとき、 $\det(K_n^{(3,q)}) = \begin{cases} 4n + 3 & k : \text{odd}, \\ 4n + 1 & k : \text{even}. \end{cases}$



まとめ



Theorem

- $\text{CFK}^\infty(K_n^{(3,q)})$ は $\text{CFK}^\infty(T(3,q))$ と stably equivalent である.
- 双曲的結び目である.
- (L -space knot でも Floer thin knot でもない).
- q を固定した結び目の族 $\{K_n^{(3,q)}\}_{n=0}^\infty$ は互いに concordant でない結び目を無限個含む.